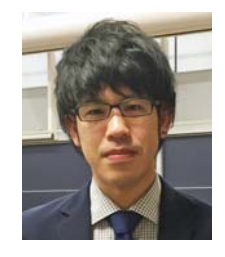
生体電磁応答に基づく指識別の実現と拡張入力インターフェースの創出

Bioelectromagnetic-response-based Input Interface for Mobile Devices

--- Finger Identification Using Bioimpedance Characteristics ---

2211027



研究代表者 電気通信大学 大学院情報理工学研究科

准教授 村 松 大 陸

「研究の目的]

スマートフォンやタブレットなどのモバイル 機器の小型化は進み、携帯性はますます向上し ている。一方で小型化によりタッチパネル等の 機器操作面は限定され、携帯性と操作性の間で トレードオフが生じている。この欠点を補うた め、微小光ファイバーで映像投影と指紋識別を 同時に行い. 指紋に応じて操作機能拡張する ディスプレイや、手首に高周波信号の送信機を 装着し、指先で端末に触れた時の信号減衰と位 相差を測定して指識別を行うシステムが検討さ れている。しかしこれらのアプローチでは、大 型の据置型機器を操作対象としておりシステム の規模が大きく追加のデバイスを装着する必要 もあり、モバイル機器との融合という観点から 真に有力とはいえない。本研究の目的は、生体 電磁応答によりタッチパネルを操作する指の種 類を識別し、情報入力機能を飛躍的に向上させ る次世代の拡張情報入力インターフェースを創 出することである。考案にあたり、次の点に留 意した。(1) ユーザが特殊な準備や訓練なく操 作可能な直感的インターフェース. (2) 小型の モバイル機器に搭載可能な規模(測定パラメー タや周波数帯域), (3) 操作対象となるモバイ ル機器以外に追加デバイス不要。申請者は下図 のシステムにより、生体電磁応用(特にバイオ インピーダンス) 計測を応用して高精度かつ簡

便に指識別を目指す。

[研究の内容,成果]

1. 提案する指識別システムの原理

提案する指識別システムでは、図1に示すよ うに、モバイル機器の側面と操作部(静電容量 式タッチパネル) の裏面に電極を配置して人体 に数 MHz 前後の高周波電流を流す。そして得 られたバイオインピーダンスの大小関係や周波 数特性に基づいて操作指を識別する。ユーザは 左手でモバイル機器を把持し、拇指球(親指の 付け根の柔らかな部分) で側面電極に触れると 同時に、右手の各指で操作面の電極に触れる。 このとき電流は、「側面電極→左手拇指球→左 腕→体幹→右腕→右手指→正面電極」という経 路で流れる。この経路の各部位のインピーダン スを, 左手拇指球 Z_{tb} , 左腕 Z_{la} , 体幹 Z_{body} , 右腕 Z_{ra}, 右手指 Z_{fin} とすると、図 2 に示すよ うに、測定されるバイオインピーダンス Z は これらすべてのインピーダンスの合計となる。

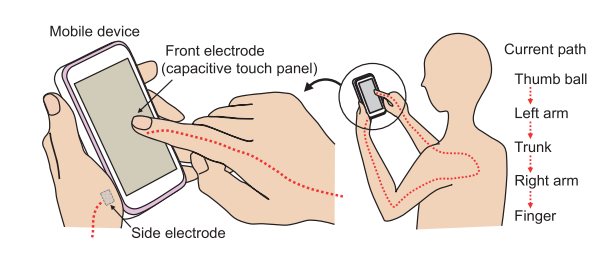


図1 生体電磁応答に基づく指識別システム

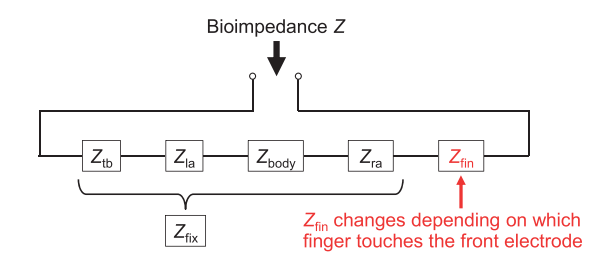


図2 測定経路のバイオインピーダンス

ここで、右手のいずれの指で正面電極に触れている状態であっても、側面電極から右手にいたる電流経路は変わらないためバイオインピーダンス $Z_{\rm fix}$ は変化しない。すなわち、右手の各指のバイオインピーダンス $Z_{\rm fin}$ のみが Z の変化として現れるため、指識別が可能と予想される。

2. 実験条件と評価項目

モバイル機器を操作する指の識別に向けて、図3に示す測定系によって各指のバイオインピーダンス特性を明らかにする。一般的なスマートフォンの寸法を想定した140×70×10 mm³のプラスチック製ケースの側面に10×10 mm²の電極(側面電極),正面に5×5 mm²の電極(正面電極)をそれぞれ配置した。各指で電極に触れたときに接触面積が一定に保たれるよう,現段階では正面電極は指の腹に対して十分小さな面積とした。各電極はケースの裏側で同軸ケーブルの内導体と外導体にそれぞれ繋がれており,同軸ケーブルはインピーダンスアナライザ(Keysight 4294A)に接続されている。すなわち、側面電極と正面電極の間に挿入され

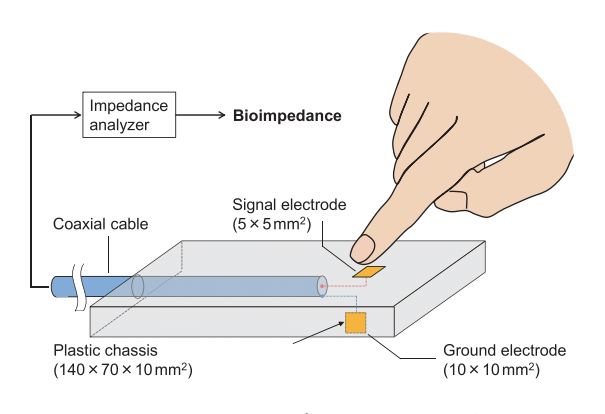


図3 バイオインピーダンスの測定系

る被験者のバイオインピーダンス $Z=Z_{fix}+Z_{fin}$ を測定する構造となっている。被験者は20代 の男性5名(#1~#5)とし、左手でケースを 把持し側面電極に触れ、右手の各指で正面電極 に触れる。この状態で被験者のバイオインピー ダンス Z を 4~10 MHz において測定した。 ケースの把持や指の触れ方の強弱に起因して電 極と皮膚の接触状態がごく短時間で変化する可 能性を考慮し、連続した16回の測定の平均バ イオインピーダンスを評価に用いた。次章では, 本測定系を用いた被験者実験により5本の指の バイオインピーダンス特性を評価し、指識別が 可能であるかを定量的に見積もる。さらに、提 案システムを利用するユーザごとにバイオイン ピーダンス特性が異なる可能性を考慮し、複数 被験者間での各指のインピーダンス特性を比較 する。そして、ユーザがモバイル機器を把持し なおすことで生じるバイオインピーダンス特性 の変動を確認する。最後に提案アルゴリズムに よる指の識別精度を評価する。

3. 実験結果および考察

1名の被験者が右手の5本の各指で正面電極に触れた場合のバイオインピーダンスの大きさ |Z| の周波数特性を図4に示す。測定した全帯域にわたり親指は他の指に比較して小さな |Z| を示した。一方で,親指以外の4本の指の|Z| は,全体的には人差指,中指,薬指,小指の順で大きくなったが,7 MHz 超の周波数では人差指と中指の特性はほとんど同一となった。こ

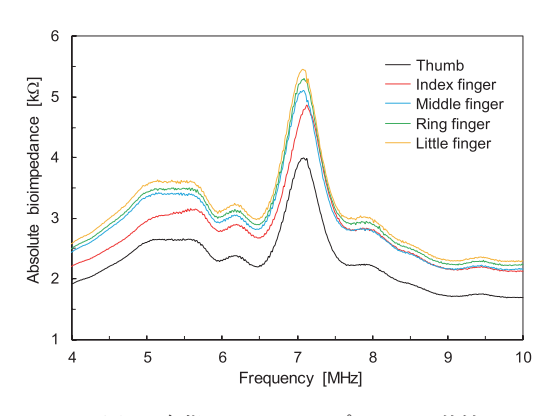


図4 各指のバイオインピーダンス特性

れは親指が他の指に比較して太く短いのに対し. 親指以外の指では太さや長さに明確な差がない ことが理由と考えられる。例えば4MHzにお いて、親指の |Z| は人差指に比べて 270Ω . 小 指に比べて 570 Ω 程度小さな値となった。この ように数百 Ω もの|Z|の差違が再現性をもって 生じる場合には、単一の周波数の値のみを用い て指識別を行うことも十分に可能であると考え られる。また、いずれの指においても 7.1 MHz 付近に |Z| のピークが観測された。さらに、|Z|がピークをとる周波数は各指でわずかに異なっ ており、最大で 50 kHz 程度の差があった。こ れらのピーク周波数の差も. |Z|の大きさと同 様に各指の太さや長さに起因して生じたと予想 される。このため、単純な |Z| の差違だけでな く、インピーダンスの周波数特性の利用も。将 来的な指識別精度の改善に有用であると考え られる。より詳細に各指のバイオインピーダン ス特性を検討するため、各測定周波数における すべての指の |Z| の平均値を基準とした各指の |Z|の変化率を図5に示す。点線が平均値,実 線は各指の変化率である。親指の | Z| は全帯域 にわって平均値から -18% 程度の差と十分大 きな変化率となった一方、他の指は-6%か ら +12% 程度の変化率であった。また、7~9 MHz 付近では人差指と中指の変化率の大小関 係が逆転した。この結果から、親指と他4本の 指の識別については、小型のモバイル機器に搭 載可能な精度のバイオインピーダンス測定回路 で十分実現できると考えられる。そこで本研究

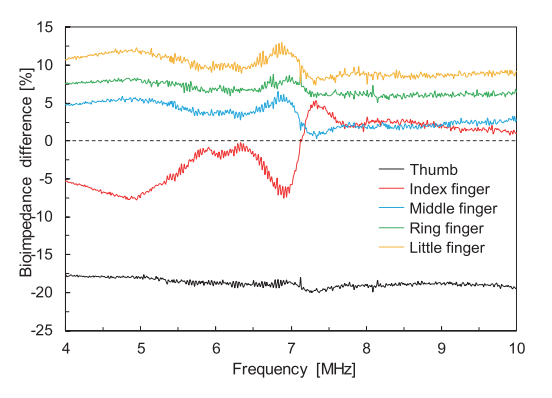


図5 全指平均値に対するバイオインピーダンス

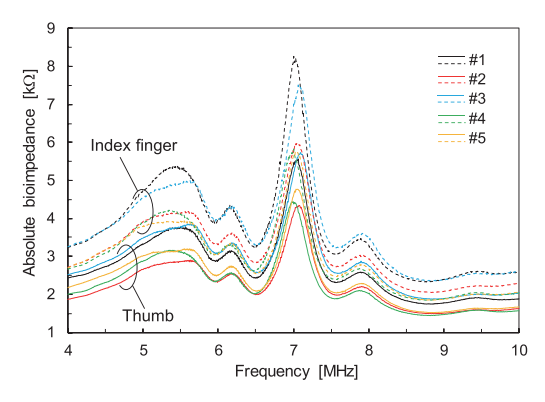


図 6 各被験者の指のバイオインピーダンス特性

では、親指とその他の指を高精度に識別可能な ことを提案法実現の第一歩と考え、以降の検討 では親指と人差指の識別に焦点を当てる。

ユーザの体型や皮膚の水分状態などによって. 同じ測定経路であってもバイオインピーダンス 特性はユーザごとに異なることが明らかになっ ている。本節では5名の被験者で測定を行い. 親指と人差指を通る経路でバイオインピーダン スを比較する。図6に5名(#1~#5)の被験 者で測定されたバイオインピーダンス |Z|の周 波数特性を示す。図より、同一の被験者では親 指と人差指のバイオインピーダンス特性は明確 に分離できることがわかる。一方、被験者間で |Z|特性を比較すると、測定周波数帯域によっ ては親指と人差指の |Z| の大小関係が逆転して いる。親指と人差指の | Z | は図5に示した通り 分離しやすいため、親指以外の4本の指も含め た |Z| の大小関係を複数被験者間で評価する場 合,より複雑になると考えられる。すなわち, 高精度の指識別を行うには被験者(ユーザ)ご とのバイオインピーダンス特性を事前に測定し. 識別指標を作成するキャリブレーションが必要 と考えられる。

提案システムを実用する際は、モバイル機器の把持や指の触れ方の強弱に起因して電極と皮膚の接触状態がごく短時間で変化する可能性を考慮する必要がある。このため3章で述べたように、本研究ではバイオインピーダンス特性を連続して16回測定した平均値を評価に用いている。本節ではさらに、ユーザが非連続的にモ

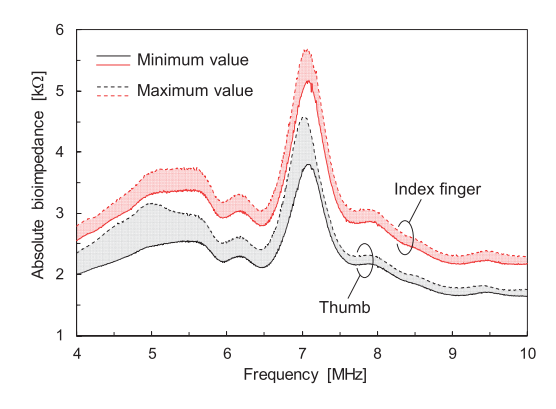


図7 非連続測定下バイオインピーダンス特性

バイル機器を使用する状況を想定した検討を行う。具体的には、ユーザがモバイル機器からいったん手を離して把持しなおすことで生じる側面電極の接触位置や接触強さの変化や、時間経過にともなうユーザの皮膚表面状態の変化がバイオインピーダンス特性におよぼす影響を、非連続測定によって評価する。被験者は前実験と同様の1名で測定回数は10回とした。各測定の間には10分の間隔をおき、測定ごとに被験者はケースから手を離し実験台に置いてあらためて把持しなおした。

図7に、非連続測定で得られたバイオインピーダンス |Z| の周波数特性の最小値を実線、最大値を点線で、親指と人差指についてそれぞれ示す。図7から明らかなように、時間をおいてケース把持の状態を変化させた非連続測定においても、親指と人差指の|Z| 特性は明確に分離した。この結果から、モバイル機器の把持状態が多少変化しても高精度で親指と人差指を識別できると考えられる。

ここまでに得られた知見を前提として、バイオインピーダンスに基づく指識別が可能であるか検証するために、親指と人差指の識別を行うアルゴリズムを実装し精度を評価する。本研究では、実装が容易かつ計算負荷の小さい指識別アルゴリズムとして、事前測定から作成できる識別指標である基準バイオインピーダンス $|Z_{\rm ref}|$ と、識別対象となる指で測定したバイオインピーダンス $|Z_{\rm ref}|$ と、識別対象となる指で測定したバイオインピーダンス|Z|を比較する方法を採用する。 $|Z_{\rm ref}|$ および|Z| は、(1) と (2) 式に示すよう

に、全帯域(4 MHz~10 MHz)で測定したバイオインピーダンスの平均値とする。

$$|Z_{\text{Ref}}| = \frac{1}{n} \sum_{k=1}^{n} \frac{|Z_{\text{T}}(f_k)| + |Z_{\text{I}}(f_k)|}{2}$$
 (1)

$$|Z| = \frac{1}{n} \sum_{k=1}^{n} |Z(f_k)| \tag{2}$$

ここで、n は周波数領域の測定点数、 f_k は各測定点の周波数、 $|Z_T(f_k)|$ と $|Z_I(f_k)|$ はそれぞれ、親指または人差指で正面電極に触れた場合のバイオインピーダンスの大きさを示す。すなわち、 $|Z_{Ref}|$ は事前測定で得られた測定帯域全体にわたる親指と人差指の平均的なバイオインピーダンスを意味する。また、 $|Z(f_k)|$ は識別対象となる指で測定したバイオインピーダンスであり、|Z| は測定帯域全体にわたる平均値を意味する。 $|Z_{ref}|$ と |Z| の大小関係を比較することで、測定対象の指が親指か人差指かを、(3)式のように識別する。

Test finger =
$$\begin{cases} \text{Thumb, if } |Z| \le |Z_{\text{Ref}}| \\ \text{Index finger, otherwise} \end{cases}$$
 (3)

本研究では基準となる $|Z_{Ref}|$ は識別を行うごとに新たに計算せず,図 7 に示した同一の被験者の測定データから計算した値を毎回の識別で繰り返し使用した。また, $|Z_{Ref}|$ の計算に用いる測定と |Z| の計算に用いる測定は,それぞれ異なる日に行った。周波数領域の測定点数はn=501 として識別を行った。図 8 に,10 回の

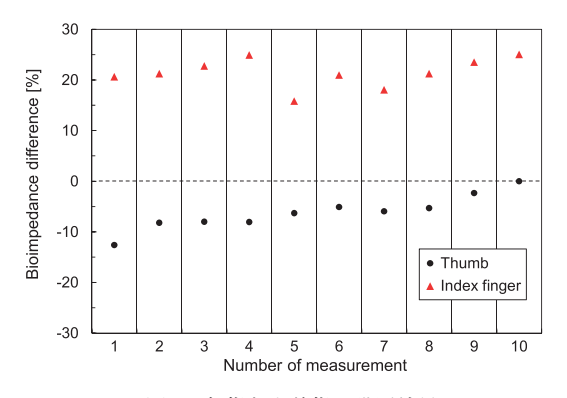


図8 親指と人差指の識別結果

異なる測定で得られたバイオインピーダンスを 用いた識別結果を示す。縦軸は $|Z_{Ref}|$ と |Z| の 差違を示し、(3) 式にしたがい、0%以下なら 親指. 0%より大きい場合は小指と判定した。 親指で測定した場合を丸、小指で測定した場合 を三角でプロットした。図8からわかるように、 10回すべての測定で、親指と人差指を誤りな く識別することができた。この結果から、バイ オインピーダンスの単純な平均を用いた識別ア ルゴリズムであっても、同一ユーザでの親指と 人差指の識別という条件であれば、きわめて高 い精度で識別が可能であることがわかる。一方 で、人差指の場合は全ての測定で $|Z_{Ref}|$ と |Z|に 20% 程度の差が生じており余裕をもった識 別が可能であるが、親指の場合は1~10%前後 の差違で識別していることがわかる。より高精 度の識別には、(1)式で $|Z_{Ref}|$ を算出する際に 各指バイオインピーダンスに重みをつけるなど して、ユーザごとに最適な識別指標を作成する ことも有効であると考えられる。さらに、本研 究では測定した全帯域である 4 MHz~10 MHz のバイオインピーダンス特性を評価に用いたが. 各指の差違が顕著に表れる帯域などが明らかに なれば、適切な評価帯域を選択することで識別 精度を向上できると予想される。

4. 結論

本研究では、モバイル機器への情報入力機能 を向上させる拡張入力インターフェースの実現

を目指し、バイオインピーダンス特性に基づい て機器を操作する指の種類を識別する方法を提 案した。被験者実験に基づいて5本の指のイン ピーダンス特性を明らかにしたうえで識別可能 性について議論し、親指と人差指の識別に焦点 を当てた。次に、被験者間で各指のバイオイン ピーダンス特性に生じる差違を評価し、異なる 被験者ではバイオインピーダンスの大きさに差 は生じるものの、同一被験者であれば親指と人 差指のバイオインピーダンスの大小関係は不変 であることを明らかにした。そして、同一の被 験者でケースの把持や電極への触り方を変化さ せてバイオインピーダンス測定を行い、非連続 的な測定でも親指と人差指のバイオインピーダ ンス特性は明確に分離することを示した。最後 に、事前測定から作成した基準バイオインピー ダンスを指標とした識別アルゴリズムを実装お よび評価し、高精度に親指と人差指の識別が可 能であることを示した。今後は、適切な評価周 波数帯域の選択による識別精度の向上や,5本 の指すべてを識別するアルゴリズムの実装につ いて、被験者を増やして検討する予定である。

[成果の発表、論文など]

D. Muramatsu: Bioelectromagnetic-response-based Input Interface for Mobile Devices —Finger Identification Using Bioimpedance Characteristics—, *Sensors and Materials*, Vol. 36, No. 3(4), pp. 1231–1241, 2024.